



## تحلیل عددی عملکرد یک میکروپمپ مغنتوهدرودینامیک

شهرام درخشان<sup>۱\*</sup>، کیوان یزدانی<sup>۲</sup>

۱- استادیار مهندسی مکانیک، دانشگاه علم و صنعت، تهران

۲- کارشناسی ارشد مهندسی مکانیک، دانشگاه علم و صنعت، تهران

\* تهران، صندوق پستی 16846 shderakhshan@iust.ac.ir

### چکیده

در این تحقیق، یک مدل سه بعدی به منظور بررسی جریان سیال در یک میکروپمپ مغنتوهدرودینامیک توسعه یافته است. معادلات به صورت عددی با استفاده از روش جرم محدود و الگوریتم سمبیل حل شده‌اند و به تحلیل عملکرد میکروپمپ مغنتوهدرودینامیک پرداخته شده است. به همین منظور، یک میکروپمپ مغنتوهدرودینامیک که در سال 2000 ساخته شده، شبیه‌سازی شده است. این میکروپمپ دارای میکروکانالی با طول 20 میلی‌متر، عرض 800 میکرومتر، ارتفاع 380 میکرومتر و الکترودی با طول 4 میلی‌متر می‌باشد. شار مغناطیسی اعمال شده 13 میلی‌تسلا و جریان الکتریکی برای محلول‌های مختلف متفاوت بوده است (10-140 mA). نتایج نشان می‌دهد که شدت میدان مغناطیسی، جریان الکتریکی و ابعاد هندسی بر عملکرد میکروپمپ‌های مغنتوهدرودینامیک تأثیرگذار است. با افزایش شار مغناطیسی و جریان الکتریکی مقدار سرعت متواته افزایش می‌یابد. کاهش طول کانال سبب افزایش سرعت متوسط جریان می‌شود. همچنین مشاهده می‌شود که با افزایش عمق کانال سرعت متوسط جریان ابتدا افزایش و سپس کاهش می‌یابد و در عمق تقریباً 800-700 میکرومتر بیشترین سرعت متوسط حاصل می‌شود. با افزایش عرض کانال نیز تا مقدار 1500 میکرومتر سرعت افزایش یافته ولی در مقادیر بیشتر از آن تغییری در مقادیر سرعت حاصل نمی‌شود.

### اطلاعات مقاله

مقاله پژوهشی کامل

دریافت: 07 ابان 1392

پذیرش: 24 اذر 1392

ارائه در سایت: 19 مهر 1393

کلید واژگان:

میکروپمپ

مغنتوهدرودینامیک

شار مغناطیسی

تحلیل عددی

## Numerical analysis of a magnetohydrodynamic micropump performance

Shahram Derakhshan\*, Keyvan Yazdani

Department of Mechanical Engineering, University of Science & Technology, Tehran, Iran  
\*P.O.B. 16846 Tehran, Iran, shderakhshan@iust.ac.ir

### ARTICLE INFORMATION

Original Research Paper  
Received 29 October 2013  
Accepted 15 December 2013  
Available Online 11 October 2014

**Keywords:**  
Micropump  
Magnetohydrodynamic  
Magnetic Flux  
Numerical Analysis

### ABSTRACT

In this work, A 3-dimensional model is developed to investigate fluid flow in a magnetohydrodynamic micropump. The equations are numerically solved using the finite volume method and the SIMPLE algorithm. This study analyzes the performance of the magnetohydrodynamic micropump. For this purpose, a magnetohydrodynamic micropump built in 2000, is simulated. The micropump has a channel with 20mm length, width of 800  $\mu\text{m}$ , height of 380  $\mu\text{m}$  and an electrode with 4mm length. The applied magnetic flux density was 13mT and the electric current was different for various solution (10-140 mA). The results show that the intensity of the magnetic field, the electric current and the geometry has an effect on the magnetohydrodynamic micropump performance. By increasing the amount of magnetic flux and electric current the average velocity increases. decreasing the channel length would increase the mean flow velocity. by increasing the channel depth, the mean flow velocity initially increases and then decreases, while at a depth of approximately 700-800  $\mu\text{m}$  the maximum averaged velocity will be resulted. The velocity increases by Increasing the channel width to 1500  $\mu\text{m}$ , however the velocity remained unchanged for larger values.

این میکروپمپ‌ها نیروی لورنتز می‌باشد [2].

در سال‌های اخیر از مغنتوهدرودینامیک به منظور هدایت محلول‌های رسانا در میکروسیستم‌ها بسیار استفاده شده است. جانگ و لی اولین کسانی بودند که از پمپاًز مغنتوهدرودینامیک در میکروکانال‌ها استفاده کردند [3]. لی موف و لی یک میکروپمپ مغنتوهدرودینامیک را طراحی کردند که جریانی پیوسته را ایجاد می‌کرد. در محلول 1 مولار سدیم کلرید، سرعت متوسطی که مشاهده شد برابر 1,51 mm/s بود که نرخ جریانی برابر  $1 \text{ mol}/\text{min} \cdot \mu\text{m}$  18,3 را ایجاد می‌کرد [4]. هوانگ و همکارانش یک میکروپمپ مغنتوهدرودینامیک با جریان مستقیم که با استفاده از فناوری LIGA ساخته

### -1 مقدمه

مغنتوهدرودینامیک پدیده‌ای است که در سیال رسانای الکتریسیته در حضور یک میدان مغناطیسی مشاهده می‌شود [1]. هنگامی که یک جریان الکتریکی از طریق یک سیال رسانای الکتریسیته که بین دو الکترود قرار گرفته انتقال می‌یابد، در حضور یک میدان مغناطیسی خارجی عمود بر جهت جریان، یک نیروی حجمی به نام نیروی لورنتز تولید می‌شود (شکل 1). به علت این نیروی حجمی توزیع شده، سیال رسانا اختلاف فشاری را تجربه می‌کند که سبب جریان یافتن سیال در طول کانال می‌شود. میکروپمپ‌های مغنتوهدرودینامیک نیز این اصل پیروی می‌کنند و عامل حرکت سیال در

می‌شوند، در حالی که معادلات دینامیک سیالات توسط معادله پیوستگی و معادله ناویر استوکس بیان می‌شوند. به منظور حل این معادلات، میدان مغناطیسی و الکتریکی پایا، جریان آرام، پایا و غیرقابل تراکم و خواص سیال ثابت فرض شده است. شکل کاهش یافته معادلات MHD می‌تواند به صورت قانون اهم، بقای جرم و بقای مومنت نوشته شود (روابط ۴-۱).

قانون اهم [9]:

$$\vec{J} = \sigma(\vec{E} + \vec{V} \times \vec{B}) \quad (1)$$

نیروی حجمی لورنتز [9]:

$$\vec{F}_L = (\vec{J} \times \vec{B}) \quad (2)$$

معادله پیوستگی [19]:

$$\nabla \cdot \vec{V} = 0 \quad (3)$$

معادله ناویر استوکس [19]:

$$\rho(\vec{V} \cdot \nabla \vec{V}) = -\nabla p + \mu \nabla^2 \vec{V} + \vec{F}_L \quad (4)$$

در روابط فوق،  $\sigma$  هدايت الکتریکی،  $\rho$  دانسیته سیال،  $\mu$  ویکوزیته دینامیکی،  $B$  بردار شار مغناطیسی،  $V$  بردار سرعت سیال،  $p$  فشار سیال،  $J$  بردار دانسیته جریان،  $E$  بردار میدان الکتریکی و  $F_L$  نیروی حجمی لورنتز است.

## 2-1- توسعه معادلات برای کانال سه بعدی

کانالی با طول  $L$ ، ارتفاع  $h$  و عرض  $w$  همانند شکل 2 در نظر گرفته شود که با یک محلول الکتروولتی پر شده است. الکترودها که در دیوارهای جانبی قرار گرفته‌اند در معرض یک اختلاف پتانسیل  $V$  قرار می‌گیرند، بنابراین یک میدان الکتریکی  $E = E e_y$  وجود دارد (۶). همچنین یک میدان مغناطیسی  $B = B e_z$  اعمال می‌شود. در میکروپمپ‌های میدان‌های الکتریکی و مغناطیسی به صورت متنابع بوده و به ترتیب برابر  $E = E \sin(\omega t + \phi) e_y$  و  $B = B \sin(\omega t + \phi) e_z$  هستند که  $\omega$  فرکانس زاویه‌ای میدان‌های الکتریکی و مغناطیسی می‌باشد. سرعت در جهات  $x$ ،  $y$  و  $z$  به ترتیب با  $u$ ،  $v$  و  $w$  نشان داده می‌شود. بنابراین می‌توان روابط (۶-۱۰) را نوشت [19]:

قانون اهم:

$$J_x = \sigma B v \quad (5)$$

$$J_y = \sigma(E - Bu) \quad (6)$$

$$J_z = 0 \quad (7)$$

نیروی لورنتز:

$$F_{Lx} = J_y \times B = \sigma EB - \sigma B^2 u \quad (8)$$

$$F_{Ly} = J_x \times B = -\sigma B^2 v \quad (9)$$

$$F_{Lz} = 0 \quad (10)$$

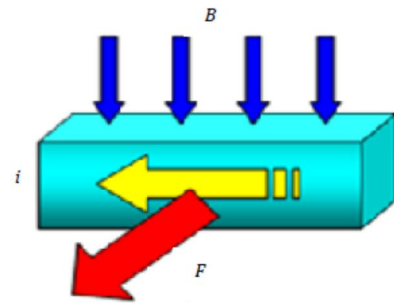
نیروهای لورنتز محاسبه شده در روابط بالا مربوط به حالت DC می‌باشند. در حالت AC در معادلات ناویر استوکس میانگین زمانی نیروی لورنتز به کار می‌رود که از رابطه (11) بدست می‌آید [7]:

$$\bar{F} = \frac{\int_0^{2\pi} \vec{J} \times \vec{B} d\omega t}{2\pi} \quad (11)$$

در این صورت سرعت بدست آمده، سرعت میانگین جریان خواهد بود. معادلات پیوستگی و ناویر استوکس در حالت سه بعدی به صورت (۱۵-۱۲) نوشته می‌شوند:

معادله پیوستگی:

$$\frac{\partial u}{\partial x} + \frac{\partial v}{\partial y} + \frac{\partial w}{\partial z} = 0 \quad (12)$$



شکل 1 شماتیکی از مفهوم نیروی لورنتز [2]

شده بود را بررسی کردند. در این آزمایش تولید حباب در پتانسیلهای بالا مشکل ساز بود و برای تمامی محلول‌ها به سبب تولید حباب پس از مدتی از انجام آزمایش نرخ جریان صفر می‌شد. آن‌ها نتیجه گرفتند که با برعکس شدن جهت ولتاژ اعمال شده تولید حباب بر عمل پمپاژ تأثیری نخواهد گذاشت. معنی آن این است که با یاستی از یک جریان متنابع استفاده شود [5]. ژانگ و همکارانش یک میکروپمپ مگنتوهیدرودینامیک را طراحی کردند که با نوارهای سرامیکی ساخته شده بود [6]. ایچکل و همکارانش یک میکروپمپ مگنتوهیدرودینامیک دایروی با جریان متنابع را برای کاربردهای کروماتوگرافی طراحی نمودند [7]. انجیوین و کالسین یک میکروپمپ مگنتوهیدرودینامیک با جریان مستقیم با دانسیته بالا را طراحی کردند که دارای سیستم جدایش حباب‌ها بود [8]. در زمینه شبیه‌سازی و بررسی عملکرد این میکروپمپ‌ها نیز اقدامات زیادی صورت گرفته است. وانگ و چانگ [9] و همچنین بهره‌مندی و میریزگی [10] جریان آرام کاملاً توسعه یافته دو بعدی در یک میکروپمپ مگنتوهیدرودینامیک را به صورت عددی بررسی کردند. هو جریان آرام کاملاً توسعه یافته دوبعدی در یک میکروپمپ مگنتوهیدرودینامیک را به صورت تحلیلی بررسی کرد [11]. چبانی و همکارانش [12] و همچنین لیم و چوی [13] میکروپمپ مگنتوهیدرودینامیک را به صورت دوبعدی با استفاده از روش‌های عددی شبیه‌سازی کردند و توزیع سرعت و فشار را در این میکروپمپ تحلیل نمودند. پنگ یان و همکارانش یک پمپ مگنتوهیدرودینامیک با میدان مغناطیسی متنابع را به صورت تجربی بررسی کردند [14]. دوویری و عبدالله با استفاده از روش‌های عددی اثر عدد هارتمن بر روی پروفیل سرعت را بررسی کردند [15]. داود و کاندیو مطالعه‌ی عددی مگنتوهیدرودینامیک یک پمپ الکترومغناطیس برای فلزات مایع را انجام دادند [16]. ریورو و کوواس شرط لغزش در میکروپمپ‌های مگنتوهیدرودینامیک را مطالعه کردند [17]. داس و همکارانش برخی کاربردهای عملی پمپاژ مگنتوهیدرودینامیک از جمله تزریق نمونه‌ها و معرفه‌ها به محفظه‌ی واکنش را مطالعه کردند [18].

در پژوهش حاضر ابتدا معادلات حاکم بر میکروپمپ‌های مگنتوهیدرودینامیک معرفی شده و سپس با حل عددی این معادلات، تأثیر شدت میدان مغناطیسی، جریان الکتریکی و ابعاد میکروکانال بر عملکرد این میکروپمپ‌ها مورد بررسی قرار می‌گیرد.

## 2- معادلات حاکم بر میکروپمپ‌های MHD

معادلات اساسی حاکم بر اصول MHD به دو دسته تقسیم می‌شوند [2]:

- الکترومغناطیسی
- دینامیک سیالات

معادلات الکترومغناطیسی حاکم توسط معادلات مکسول و قانون اهم بیان

در حالت‌های گوناگون شامل هندسه‌ها و جریان‌های متفاوت، عدم واستگی حل به شبکه کنترل شد و شبکه‌سازی برای شبکه‌های متفاوت انجام پذیرفت. تعداد بیشترین شبکه مورد استفاده در میکروپمپ دارای طول 20 میلی‌متر، ارتفاع 380 میکرومتر، عرض 3000 میکرومتر، جریان الکتریکی 140 میلی‌آمپر و شار مغناطیسی 20 میلی‌تسلای 600000 بود که با تعداد 1000000 شبکه اختلافی کمتر از 0/5 درصد را برای مقادیر سرعت و فشار نشان می‌داد.

پس از شبکه‌بندی ناحیه محاسباتی، با توجه به کوپلینگ معادلات، بایستی از یک روش حل تکراری به منظور حل معادلات استفاده شود. برای حل معادلات سبعده از روش سیمپل استفاده شده که در آن فرمول‌بندی با استفاده از حجم کنترلی انجام می‌شود که در این روش ابتدا میدان فشار حدس زده شده و معادلات ناویر استوکس در راستاهای  $x$ ،  $y$  و  $z$  حل می‌شود و مقادیر سرعت  $u$ ،  $v$  و  $w$  که به ترتیب سرعت در راستاهای  $x$ ،  $y$  و  $z$  هستند، محاسبه می‌شود. سپس با استفاده از مقادیر سرعت بدست آمده، معادله بیوستگی حل شده و مقادیر فشار محاسبه می‌شود و مجدداً با توجه به فشارهای محاسبه شده، معادلات ناویر استوکس حل شده و این روند تا زمانی که شرط همگرایی سرعت و فشار ارضا شود، ادامه می‌یابد.

شرط لازم به منظور همگرایی به صورت رابطه (17) است:

$$\left| \frac{V^{\text{new}} - V^{\text{old}}}{V^{\text{new}}} \right| \leq \epsilon \quad (17)$$

که در آن  $\epsilon$  متغیر مورد نظر و  $\epsilon$  معیار همگرایی می‌باشد که تقریباً برابر  $10^{-4}$  است.

#### 4- اعتبارسنجی

به منظور بررسی صحت حل عددی به کار رفته، نتایج حاصل از حل عددی با مقادیر آزمایشگاهی که توسط لی موف و لی [4] برای میکروپمپ مگنتوهیدرودینامیک AC ارائه شده مقایسه شد.

بعد میکروپمپ ساخته شده توسط لی موف و لی در جدول 2 آورده شده است. محلول‌های به کار رفته در آزمایش محلول‌های  $0.1\text{M NaCl}$ ،  $1\text{M NaCl}$  Lambda DNA،  $5\text{mM NaCl}$  و PBS PH = 7/2،  $0.01\text{M NaOH}$ ،  $0.01\text{M NaCl}$  in بود که در آن جریان الکتریکی به ترتیب روی مقادیر 140، 100، 24، 36، 12 و 10 میلی‌آمپر تنظیم شده و شدت میدان مغناطیسی برابر 13 میلی‌تسلا است. این محلول‌ها در شکل 3 به ترتیب با اعداد 1 تا 6 مشخص شده‌اند. این محلول‌ها نمکی به طور کلی دارای هدایت الکتریکی  $1.5\text{S/m}$  ویسکوزیته دینامیکی  $0.0006\text{Pa.s}$  و چگالی  $1000\text{ Kg/m}^3$  هستند. همان‌طور که در شکل 3 مشاهده می‌شود، انتساب نتایج کار حاضر و نتایج تجربی برای بیشتر محلول‌ها رضایت‌بخش است و اختلاف نتایج کمتر از 10 درصد است. اختلاف نتایج کار حاضر و نتایج تجربی برای محلول  $0.1\text{M NaCl}$  به دلیل خطاهای آزمایش می‌باشد. همچنین مشاهده می‌شود که نتایج تحلیل دوبعدی که با فرض توسعه یافته‌گی جریان توسط وانگ و چانگ [9] انجام شده و نتایج سه‌بعدی کار حاضر بسیار نزدیک به هم است.

جدول 2 مشخصات هندسی میکروپمپ ساخته شده توسط لی موف و لی

مقدار	پارامتر
20	طول کانال (mm)
4	طول الکترود (mm)
800	عرض کانال ( $\mu\text{m}$ )
380	عمق کانال ( $\mu\text{m}$ )

معادلات ناویر استوکس:

در جهت  $x$ :

$$\rho \left( u \frac{\partial u}{\partial x} + v \frac{\partial u}{\partial y} + w \frac{\partial u}{\partial z} \right) = - \frac{\partial p}{\partial x} + \mu \left( \frac{\partial^2 u}{\partial x^2} + \frac{\partial^2 u}{\partial y^2} + \frac{\partial^2 u}{\partial z^2} \right) + F_{L_x} \quad (13)$$

در جهت  $y$ :

$$\rho \left( u \frac{\partial v}{\partial x} + v \frac{\partial v}{\partial y} + w \frac{\partial v}{\partial z} \right) = - \frac{\partial p}{\partial y} + \mu \left( \frac{\partial^2 v}{\partial x^2} + \frac{\partial^2 v}{\partial y^2} + \frac{\partial^2 v}{\partial z^2} \right) + F_{L_y} \quad (14)$$

در جهت  $z$ :

$$\rho \left( u \frac{\partial w}{\partial x} + v \frac{\partial w}{\partial y} + w \frac{\partial w}{\partial z} \right) = - \frac{\partial p}{\partial z} + \mu \left( \frac{\partial^2 w}{\partial x^2} + \frac{\partial^2 w}{\partial y^2} + \frac{\partial^2 w}{\partial z^2} \right) + F_{L_z} \quad (15)$$

عدد رینولدز در این میکروپمپ‌ها کوچک است. عدد رینولدز در میکروپمپ مورد بررسی در این کار تقریباً برابر 1 است. مقادیر ترم‌های غیرخطی جایگایی در معادلات ناویر استوکس نیز بسیار کوچک است، لذا در برخی تحلیل‌ها از ترم‌های غیرخطی صرف‌نظر می‌کنند و تحلیل به صورت دوبعدی انجام می‌شود.

به منظور بررسی شرط مرزی در دیوارهای از عدد نودسن<sup>1</sup> استفاده می‌شود. عدد بعده نودسن میزان رقیق بودن سیال را مشخص می‌کند و از رابطه (6) بدست می‌آید:

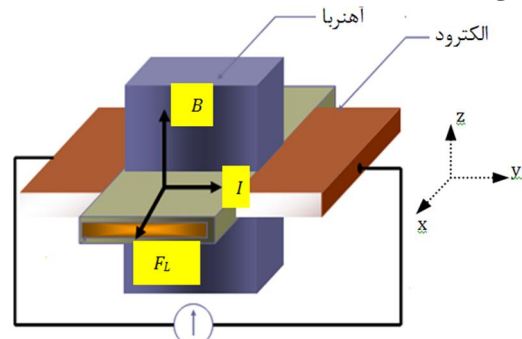
$$Kn = \frac{\lambda}{L} \quad (16)$$

که در آن  $\lambda$  فاصله پویش آزاد و  $L$  طول مشخصه است. با توجه به اینکه عدد نودسن در این میکروپمپ‌ها کوچک‌تر از 0/01 است، لذا شرط مرزی عدم لغزش معتبر است.

در جدول 1 شرایط مرزی برای میکروپمپ مگنتوهیدرودینامیک آورده شده است.

### 3- حل معادلات

به منظور حل عددی معادلات ابتدا ناحیه محاسباتی شبکه‌بندی شد. به منظور شبکه‌بندی ناحیه محاسباتی، از شبکه بندی یکنواخت با المان‌های مستطیلی شکل استفاده شده است.



شکل 2 نمایی از میکروپمپ مگنتوهیدرودینامیک [20]

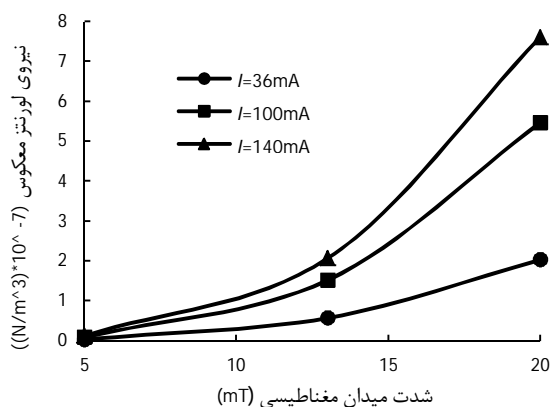
جدول 1 شرایط مرزی برای میکروپمپ مگنتوهیدرودینامیک

شرط مرزی	توضیح
وروی	در ورودی مقدار فشار معلوم و برابر صفر در نظر گرفته شده است.
خروجی	در خروجی شرط توسعه یافته‌گی سرعت در نظر گرفته شده است.
دیوارهای	در دیوارهای فرض شده است که شرط عدم لغزش برقرار باشد.

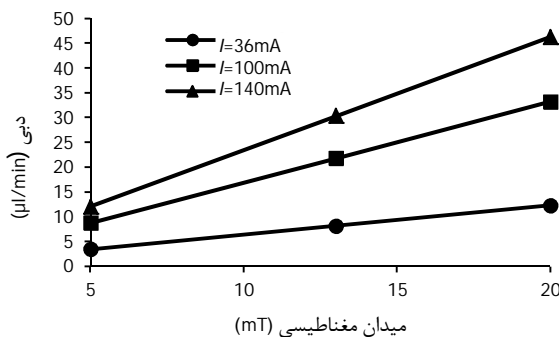
بسیار کوچک است. در شدت میدان‌های مغناطیسی پایین مقادیر نیروی لورنتز معکوس در جریان‌های مختلف نزدیک به هم هستند و با افزایش شدت میدان مغناطیسی مقادیر این نیروها افزایش می‌یابد که میزان تغییرات در جریان‌های الکتریکی بزرگ‌تر، بیشتر است.

شکل 6 شامل تأثیر شدت میدان مغناطیسی بر دبی جریان به ازای جریان‌های الکتریکی مختلف می‌باشد. شکل 7 نیز شامل تأثیر شدت میدان مغناطیسی بر پروفیل‌های سرعت در عمق کانال برای جریان الکتریکی 140 میلی‌آمپر است.

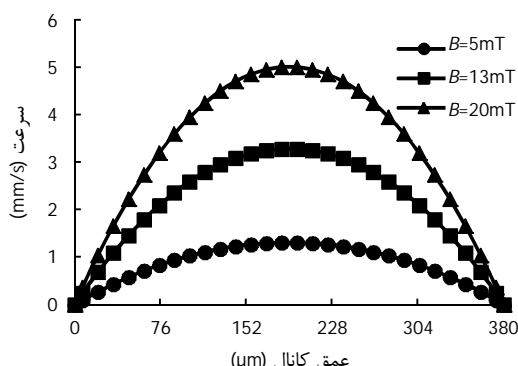
همان‌طور که در شکل‌های 6 و 7 مشاهده می‌شود، با افزایش شدت میدان مغناطیسی سرعت جریان سیال و در نتیجه دبی جریان افزایش می‌یابد که علت این امر افزایش نیروی لورنتز شدت میدان مغناطیسی است.



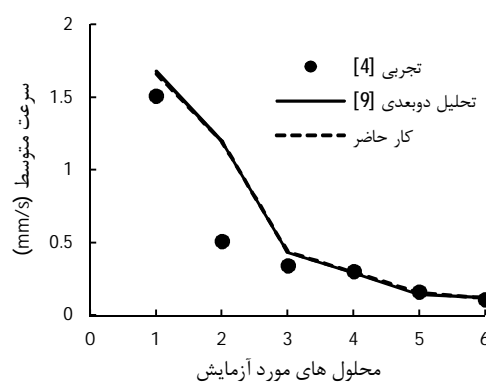
شکل 5 تغییرات نیروی لورنتز معکوس با شدت میدان مغناطیسی



شکل 6 تغییرات دبی با شدت میدان مغناطیسی



شکل 7 پروفیل‌های سرعت در مقطع میانی عرض کانال ( $y = w/2$ )



شکل 8 تغییرات نیروی لورنتز با شدت میدان مغناطیسی

## 5- نتایج و بحث

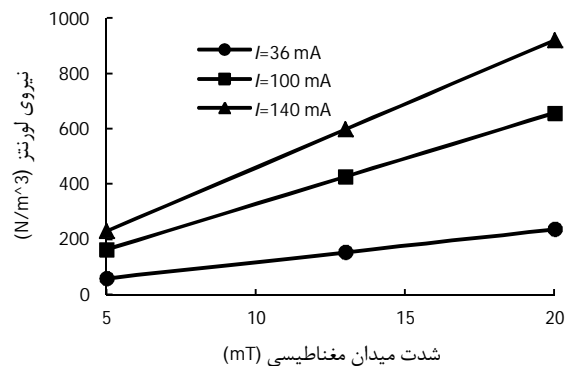
در این بخش پارامترهای مؤثر بر عملکرد میکروپمپ MHD مورد بررسی قرار می‌گیرند که شامل شدت میدان مغناطیسی (B)، جریان الکتریکی (I)، طول (L)، ارتفاع (h) و عرض میکروکانال (w) است. میکروپمپ مورد بررسی در این قسمت میکروپمپ ساخته شده موف و لی [4] و سیال محلول NaCl 1 است که مشخصات آن در قسمت‌های قبل ذکر شده است.

### 5-1- شدت میدان مغناطیسی

یکی از پارامترهای مهم و مؤثر بر عملکرد میکروپمپ‌های مگنتوهیدرودینامیک شدت میدان مغناطیسی است. در این قسمت تأثیر شدت میدان مغناطیسی بر عملکرد میکروپمپ بررسی می‌شود.

نیروی لورنتز تولید شده در جهت جریان در میکروپمپ MHD با شدت میدان مغناطیسی دارای نسبت مستقیم است و با افزایش شدت میدان مغناطیسی نیروی لورنتز افزایش می‌یابد. شکل 4 شامل تغییرات نیروی لورنتز با شدت میدان مغناطیسی در سه جریان الکتریکی 36، 100 و 140 میلی‌آمپر می‌باشد. همان‌طور که مشاهده می‌شود، با افزایش شدت میدان مغناطیسی نیروی لورنتز به صورت خطی افزایش می‌یابد که شب خطوط در جریان‌های الکتریکی بزرگ‌تر، بیشتر است.

شدت میدان مغناطیسی بر نیروی لورنتز ایجاد شده در خلاف جهت جریان (نیروی لورنتز معکوس) نیز تأثیرگذار است. نیروی لورنتز معکوس با محدود شدت میدان مغناطیسی مناسب می‌باشد. شکل 5 شامل تغییرات نیروی لورنتز معکوس با شدت میدان مغناطیسی به ازای جریان‌های الکتریکی مختلف می‌باشد. همان‌طور که مشاهده می‌شود، مقادیر نیروی لورنتز معکوس



شکل 9 تغییرات نیروی لورنتز با شدت میدان مغناطیسی

## 5-2- جریان الکتریکی

یک دیگر از پارامترهای مؤثر بر عملکرد میکروپمپ مگنتوهیدرودینامیک جریان الکتریکی می‌باشد. در این قسمت تأثیر جریان الکتریکی بر عملکرد میکروپمپ بررسی می‌شود.

نیروی لورنتز تولید شده در جهت جریان در میکروپمپ MHD با جریان الکتریکی دارای نسبت مستقیم است و با افزایش جریان الکتریکی نیروی لورنتز نیز افزایش می‌یابد. در شکل 8 تغییرات نیروی لورنتز با جریان الکتریکی نشان داده شده است. این تغییرات برای سه شدت میدان مغناطیسی مختلف شامل 5، 13 و 20 میلیتسلا بررسی شده است. همان‌طور که مشاهده می‌شود، با افزایش جریان الکتریکی نیروی لورنتز به صورت خطی افزایش می‌یابد، با افزایش جریان الکتریکی نیروی لورنتز به صورت خطی افزایش می‌یابد که شیب خطوط در شدت میدان‌های مغناطیسی بزرگ‌تر، بیشتر است.

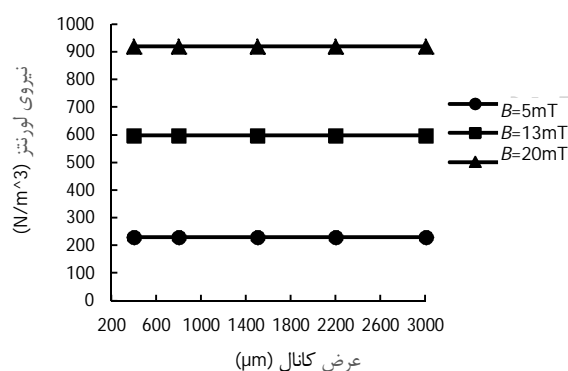
شکل 9 شامل تأثیر جریان الکتریکی بر نیروی لورنتز معکوس می‌باشد. همان‌طور که مشاهده می‌شود، با افزایش جریان الکتریکی، نیروی لورنتز معکوس به صورت خطی افزایش می‌یابد، به این دلیل که با افزایش جریان الکتریکی سرعت نسبت مستقیم دارد و از انجا که با افزایش جریان الکتریکی سرعت افزایش می‌یابد، لذا با افزایش جریان الکتریکی نیروی لورنتز معکوس افزایش می‌یابد. همچنین مشاهده می‌شود که در شدت میدان‌های مغناطیسی پایین، تأثیر جریان الکتریکی بر نیروی لورنتز معکوس کم می‌باشد اما با افزایش شدت میدان مغناطیسی افزایش جریان تأثیر بیشتری بر نیروی لورنتز معکوس دارد.

شکل 10 شامل تأثیر جریان الکتریکی بر دبی جریان به ازای میدان‌های مغناطیسی مختلف می‌باشد. شکل 11 نیز شامل تأثیر جریان الکتریکی بر پروفیل‌های سرعت در عمق کانال برای میدان مغناطیسی 13 میلیتسلا است.

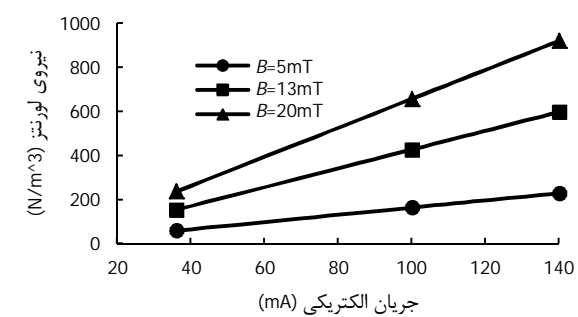
## 5-3- ابعاد کانال

همان‌طور که در شکل‌های 10 و 11 مشاهده می‌شود، با افزایش جریان الکتریکی سرعت جریان سیال و در نتیجه دبی جریان افزایش می‌یابد که علت این امر افزایش نیروی لورنتز با افزایش جریان الکتریکی می‌باشد.

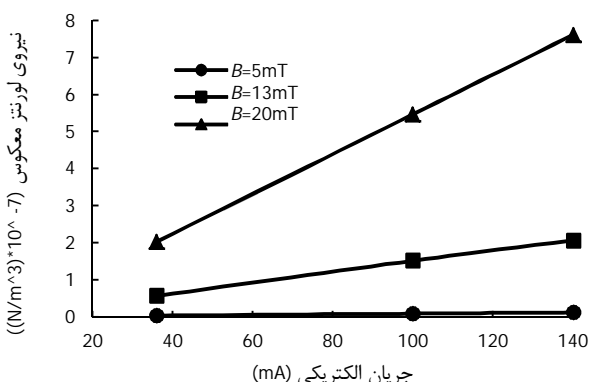
یکی از پارامترهای مؤثر بر جریان سیال در میکروپمپ‌های مگنتوهیدرودینامیک ابعاد میکروکانال شامل طول، عرض و ارتفاع است. در شکل 12 تغییرات نیروی لورنتز با عرض کانال در میدان‌های مغناطیسی مختلف برای جریان الکتریکی 140 میلیآمپر نشان داده شده است. همان‌طور که مشاهده می‌شود نیروی لورنتز مستقل از عرض کانال است.



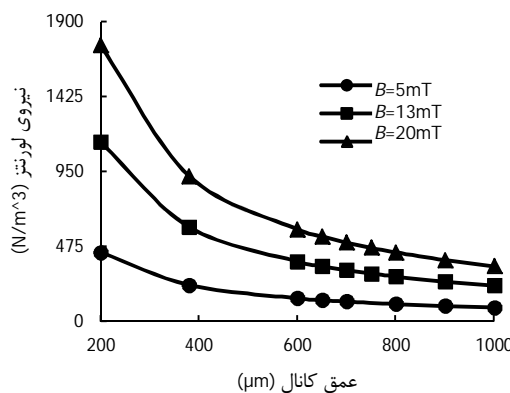
شکل 12 تغییرات نیروی لورنتز با عرض کانال



شکل 8 تغییرات نیروی لورنتز با جریان الکتریکی



شکل 9 تغییرات نیروی لورنتز معکوس با جریان الکتریکی



شکل 15 تغییرات نیروی لورنتز با عمق کanal

در شکل 16 تغییرات نیروی لورنتز معکوس با عمق کanal در میدان های مغناطیسی مختلف برای جریان الکتریکی 140 میلیآمپر نشان داده شده است. همان طور که مشاهده می شود، در میدان های مغناطیسی کوچک، نیروی لورنتز معکوس با افزایش عرض کanal به مقدار بسیار کمی افزایش می یابد، ولی در میدان های مغناطیسی بزرگ تر، مقدار این نیرو با افزایش عرض کanal، افزایش قابل توجهی دارد.

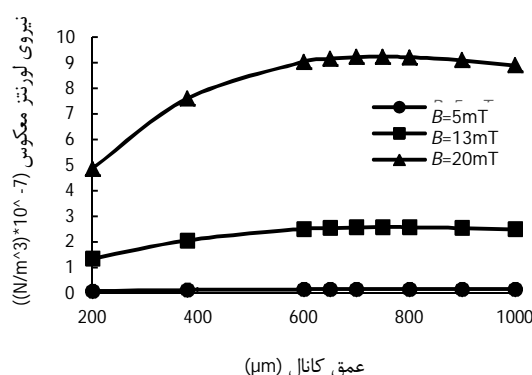
در شکل 13 نیز تغییرات نیروی لورنتز معکوس با عرض کanal در میدان های مغناطیسی مختلف برای جریان الکتریکی 140 میلیآمپر نشان داده شده است. همان طور که مشاهده می شود، در میدان های مغناطیسی کوچک، نیروی لورنتز معکوس با افزایش عرض کanal به مقدار بسیار کمی افزایش می یابد، ولی در میدان های مغناطیسی بزرگ تر، مقدار این نیرو با افزایش عرض کanal، افزایش قابل توجهی دارد.

شکل 14 شامل اثر تغییرات عرض کanal بر روی پروفیل سرعت برای جریان الکتریکی 140 میلیآمپر و شدت میدان مغناطیسی 13 میلیTesla است. همان طور که مشاهده می شود، با افزایش عرض کanal سرعت جریان سیال افزایش می یابد. در ابتدا با عرض های بزرگ تر، با افزایش عرض کanal، تغییرات سرعت سیال زیاد است اما در عرض های بزرگ تر، با افزایش عرض کanal، تغییرات سرعت سیال کم می شود و همان طور که مشاهده می شود در عرض های بزرگ تر از 1500 میکرومتر، افزایش عرض کanal تأثیر چندانی بر سرعت جریان نمی گذارد و پروفیل های سرعت تقریباً بر هم منطبق هستند. علت آن این است که با افزایش عرض کanal اثر اصطکاک دیواره ها روی سرعت کمتر می شود.

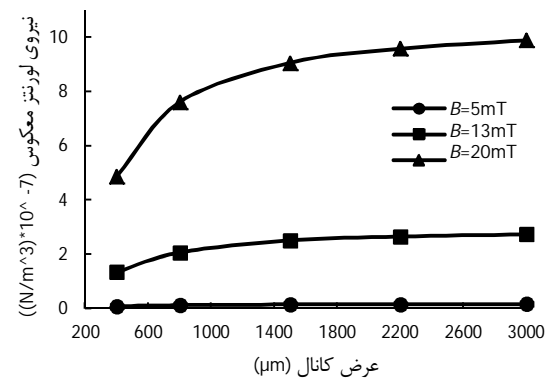
در شکل 15 تغییرات نیروی لورنتز با عمق کanal در میدان های مغناطیسی مختلف برای جریان الکتریکی 140 میلیآمپر نشان داده شده است. همان طور که مشاهده می شود، نیروی لورنتز با افزایش عمق کanal کاهش می یابد که دلیل آن کاهش دانسیته جریان الکتریکی است. در ابتدا با افزایش عمق کanal از 200 میکرومتر مقدار کاهش نیروی لورنتز زیاد می یابد اما با افزایش بیشتر عمق کanal میزان تغییرات نیروی لورنتز کمتر می شود.

شکل 17 شامل اثر عمق کanal بر روی پروفیل سرعت برای میدان مغناطیسی 13 میلیTesla و جریان الکتریکی 140 میلیآمپر است. همان طور که مشاهده می شود، با افزایش عمق کanal سرعت همواره افزایش نمی یابد بلکه با افزایش عمق کanal تا 800 میکرومتر، مقدار سرعت افزایش و پس از آن با افزایش بیشتر عمق کanal، مقدار سرعت کاهش می یابد. در واقع با افزایش عمق کanal تأثیر اصطکاک دیواره های کanal کمتر شده و سرعت جریان سیال افزایش می یابد، اما از طرفی دیگر با افزایش عمق کanal مساحت الکتروودها افزایش یافته و دانسیته جریان الکتریکی کاهش می یابد. بنابراین نیروی لورنتز نیز کاهش می یابد و در نتیجه موجب کاهش سرعت در عمق های بالاتر می شود.

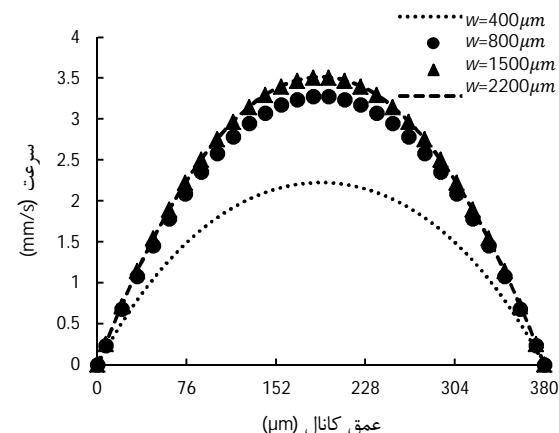
در جدول 3 اثر تغییر طول کanal بر روی سرعت متوسط جریان نشان داده شده است. همان طور که مشاهده می شود با افزایش طول کanal مقدار سرعت متوسط جریان کاهش می یابد. شکل 18 شامل پروفیل های سرعت در مقطع میانی عرض کanal و شکل 19 شامل پروفیل های سرعت در مقطع میانی عمق کanal برای مقادیر مختلف طول کanal است. همان طور که مشاهده می شود با افزایش طول کanal مقادیر سرعت کاهش می یابد. در واقع همان طور



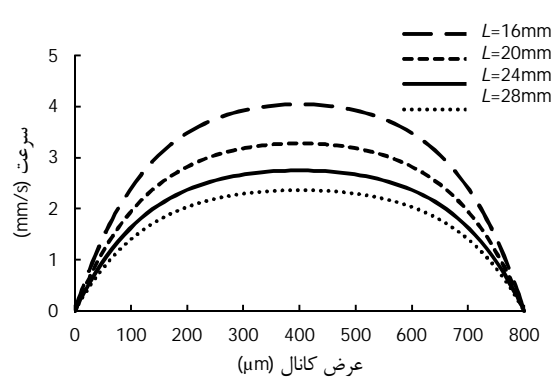
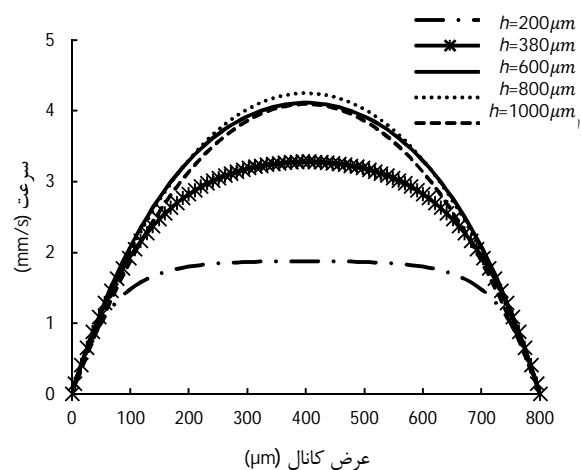
شکل 16 تغییرات نیروی لورنتز معکوس با عمق کanal



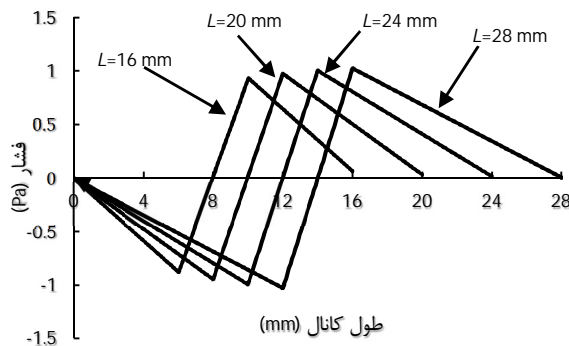
شکل 17 تغییرات نیروی لورنتز معکوس با عرض کanal



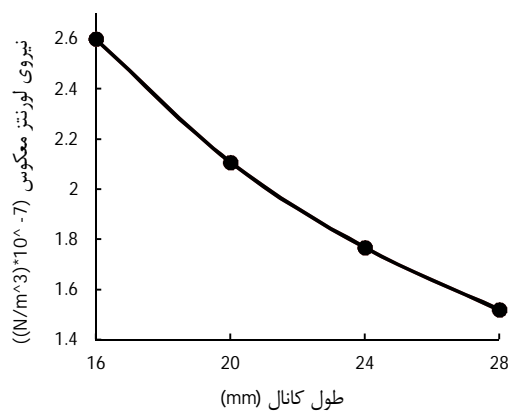
شکل 18 تغییرات پروفیل سرعت با عرض کanal

شکل 19 پروفیل‌های سرعت در مقطع میانی عمق کanal ( $z=h/2$ )

شکل 17 تغییرات پروفیل سرعت با عمق کanal



شکل 20 تغییرات فشار به ازای مقادیر مختلف طول کanal



شکل 21 تغییرات نیروی لورنتز معکوس با طول کanal

شبیه‌سازی شد. نتایج نشان دادند که شدت میدان مغناطیسی و جریان الکتریکی بر مقادیر نیروی لورنتز تأثیرگذار بوده و افزایش آن‌ها سبب افزایش نیروی لورنتز و در نتیجه افزایش سرعت میکروپمپ مگنتوهیدرودینامیک شد که ابعاد مقطع کanal بر عملکرد میکروپمپ مگنتوهیدرودینامیک تأثیرگذار می‌باشد. نیروی حجمی لورنتز مستقل از عرض کanal می‌باشد، اما با افزایش عمق کanal کاهش می‌یابد. با افزایش بیشتر عرض کanal تغییرات سرعت جریان سیال افزایش می‌یابد، اما با افزایش بیشتر عرض کanal تأثیری بر روی سرعت جریان نمی‌گذارد. با افزایش عمق کanal سرعت ابتدا افزایش می‌یابد ولی با افزایش بیشتر عمق کanal مقدار سرعت کاهش می‌یابد.

با افزایش طول کanal، مقادیر گرادیان فشار در طول کanal کاهش می‌یابد که

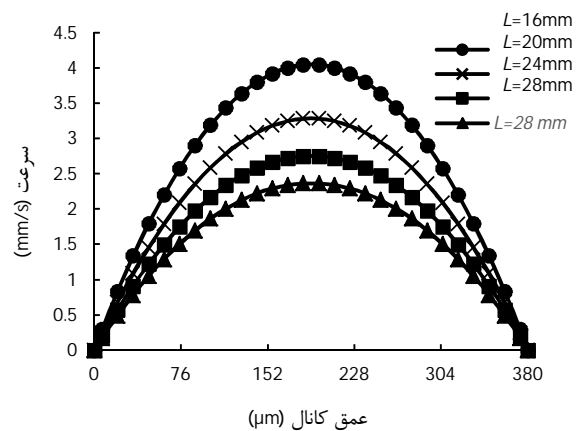
که در شکل 20 نشان داده شده است، توزیع فشار در کanal را می‌توان به سه ناحیه تقسیم کرد که ناحیه میانی ناحیه قرارگیری الکترودهاست که مستقیماً تحت تأثیر نیروی لورنتز می‌باشد و شاهد افزایش فشار هستیم و نواحی ابتدایی و انتهایی نواحی قبل و بعد از قرارگیری الکترودهاست که عامل حرکت سیال در این نواحی گرادیان فشار القایی است. با افزایش طول کanal، مقادیر گرادیان فشار در طول کanal کاهش می‌یابد که این امر سبب کاهش سرعت در طول کanal می‌شود. تغییر طول کanal اثری بر نیروی لورنتز ندارد اما همان‌طور که در شکل 21 مشاهده می‌شود بر نیروی لورنتز معکوس تأثیرگذار است و با افزایش طول کanal نیروی لورنتز معکوس به علت کاهش مقادیر سرعت، کاهش می‌یابد.

## 6- نتیجه‌گیری

معادلات سه‌بعدی حاکم بر حریان سیال در میکروپمپ‌های مگنتوهیدرودینامیک استخراج و با حل عددی این معادلات با استفاده از روش حجم محدود و الگوریتم سیمپل، حریان سیال در این میکروپمپ‌ها

جدول 3 تغییرات سرعت متوسط با طول کanal

طول کanal (mm)	سرعت متوسط (mm/s)
16	2/0503
20	1/6631
24	1/3943
28	1/1985

شکل 18 پروفیل‌های سرعت در مقطع میانی عرض کanal ( $z=W/2$ )

- [10] M. Bahremandi, S.A. Mirbozorgi, Numerical simulation of fluid flow in hydromagnetic micropumps with two-dimensional cross-section, *19th Annual Conference of Mechanical Engineering*, Birjand University, Iran, 2011, (In Persian)
- [11] J.-E. Ho, Characteristic study of MHD pump with channel in rectangular ducts, *Journal of Marine Science and Technology*, Vol. 15, No. 4, 2007, pp. 315-321.
- [12] R. Chaabane, A. Bouras, S. Ben Nasrallah, Numerical magneto hydro dynamic flow simulation of velocity and pressure for electrically conducting, incompressible fluids, *Journal of the Brazilian Society of Mechanical Sciences and Engineering*, Vol. 29, No. 3, 2007, pp. 299-306.
- [13] S. Lim, B. Choi, A study on the MHD (magnetohydrodynamic) micropump with side-walled electrodes, *Journal of mechanical science and technology*, Vol. 23, No. 3, 2009, pp. 739-749.
- [14] Y. PENG, et al., Experimental study on alternating magnetic field magnetohydrodynamic pump, *Journal of Hydrodynamics, Ser. B*, Vol. 20, No. 5, 2008, pp. 591-595.
- [15] H. Duwairi, M. Abdullah, Numerical computation of fluid flow in a magnetohydrodynamic micropump, *Turkish J. Eng. Env. Sci*, Vol. 32, 2008, pp. 1-5.
- [16] A. Daoud, N. Kandev, Magneto-Hydrodynamic Numerical Study of DC Electromagnetic Pump for Liquid Metal. in *Proceedings of the COMSOL Conference*. 2008.
- [17] M. Rivero, S. Cuevas, Analysis of the slip condition in magnetohydrodynamic (MHD) micropumps, *Sensors and Actuators B: Chemical*, Vol. 166, 2012, pp. 884-892.
- [18] C. Das, G. Wang, and F. Payne, Some Practical Applications of Magnetohydrodynamic Pumping, *Sensors and Actuators A: Physical*, Vol. 201, 2013, pp. 43-48.
- [19] T.R. DePuy, *Fluid Dynamics and Heat Transfer in a Hartmann Flow*, 2010, Rensselaer Polytechnic Institute.
- [20] M. Tawk, *Etude et réalisation d'un système de refroidissement pour l'électronique de puissance basé sur la mise en mouvement d'un fluide conducteur électrique*, 2011. Université de Grenoble.

این امر سبب کاهش سرعت در طول کanal می شود. طول کanal بر روی مقادیر نیروی لورنتز اثری ندارد اما با افزایش طول کanal مقادیر نیروی لورنتز معکوس کاهش می باید.

## 7 - مراجع

- [1] V. Patel, S.K. Kasseege, Electroosmosis and thermal effects in magnetohydrodynamic (MHD) micropumps using 3D MHD equations, *Sensors and Actuators B: Chemical*, Vol. 122, No. 1, 2007, pp. 42-52.
- [2] D.E., Lee, *Development of micropump for microfluidic applications*, Yeungnam University, 2007.
- [3] J. Jang, S.S. Lee, Theoretical and experimental study of MHD (magnetohydrodynamic) micropump, *Sensors and Actuators A: Physical*, Vol. 80, No. 1, 2000, pp. 84-89.
- [4] A.V. Lemoff, A.P. Lee, An AC magnetohydrodynamic micropump, *Sensors and Actuators B: chemical*, Vol. 63, No. 3, 2000, pp.178-185.
- [5] L. Huang, et al., LIGA fabrication and test of a DC type magnetohydrodynamic (MHD) micropump, *Microsystem technologies*, Vol. 6, No. 6, 2000, pp. 235-240.
- [6] J. Zhong, M. Yi, H.H. Bau, Magneto hydrodynamic (MHD) pump fabricated with ceramic tapes, *Sensors and Actuators A: Physical*, Vol. 96, No. 1, 2002, pp. 59-66.
- [7] J. Eijkel, et al., A circular ac magnetohydrodynamic micropump for chromatographic applications, *Sensors and Actuators B: Chemical*, Vol. 92, No. 1, 2003, pp. 215-221.
- [8] B. Nguyen, S.K. Kasseege, High-current density DC magenohydrodynamics micropump with bubble isolation and release system, *Microfluidics and Nanofluidics*, Vol. 5, No. 3, 2008, pp. 383-393.
- [9] P.-J. Wang, C.-Y. Chang, M.-L. Chang, Simulation of two-dimensional fully developed laminar flow for a magneto-hydrodynamic (MHD) pump, *Biosensors and bioelectronics*, Vol. 20, No. 1, 2004, pp. 115-121.